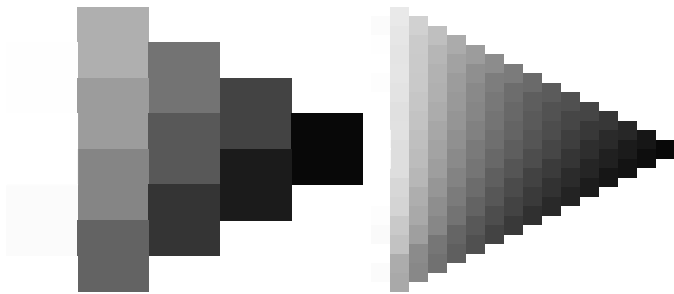
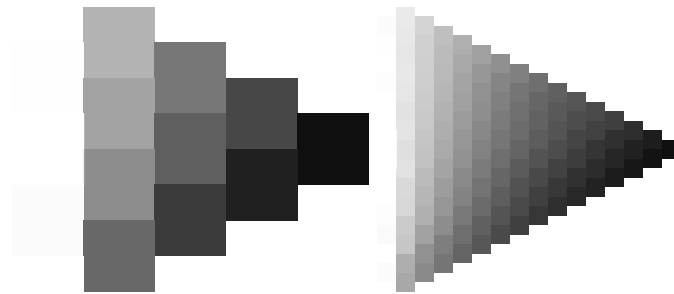


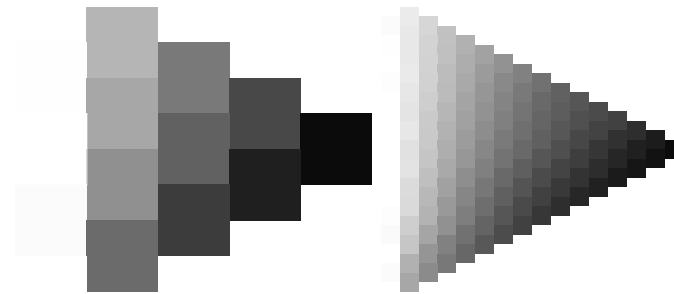
••



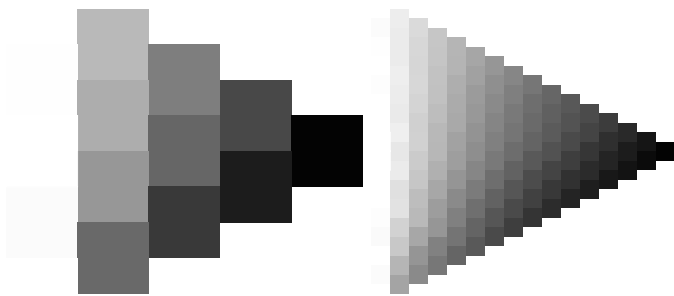
••



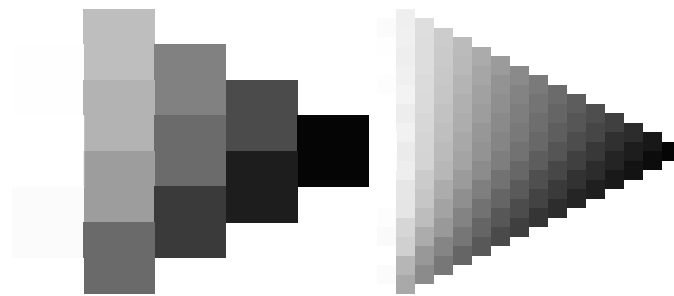
••



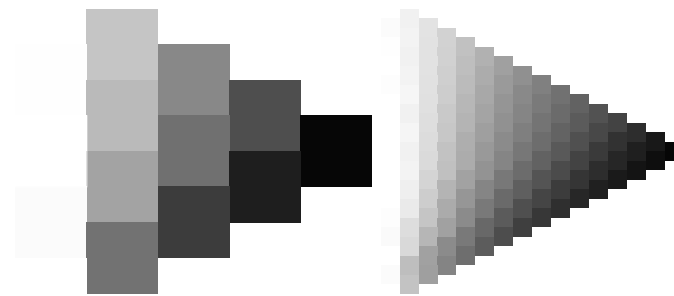
••



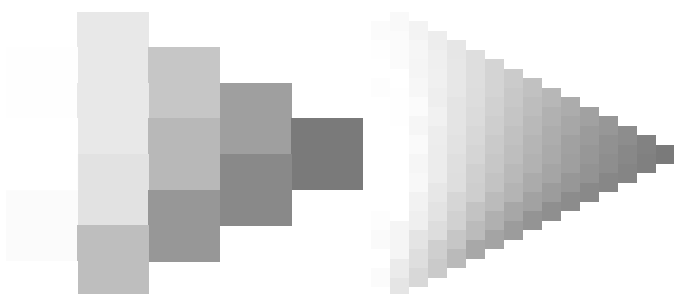
••



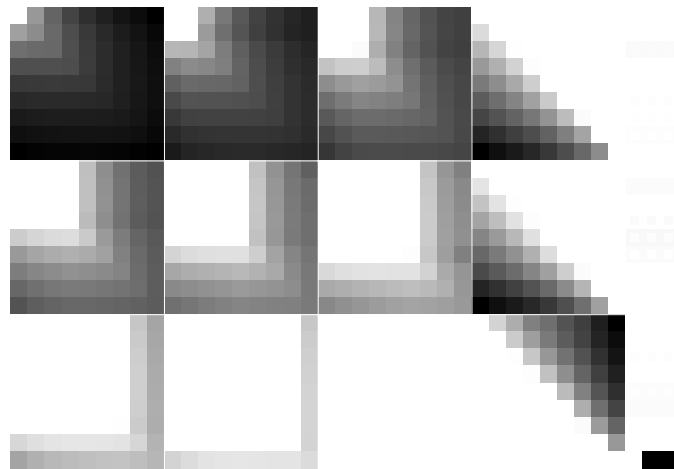
••

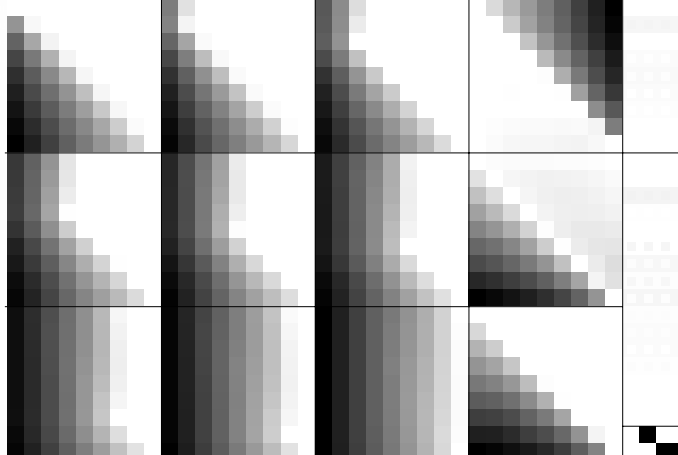
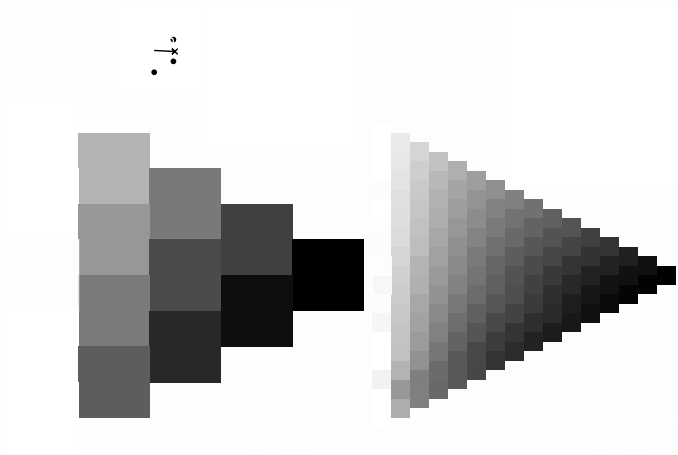
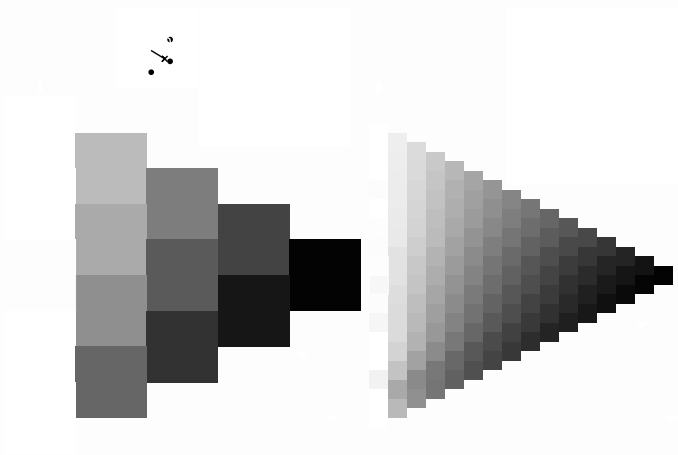
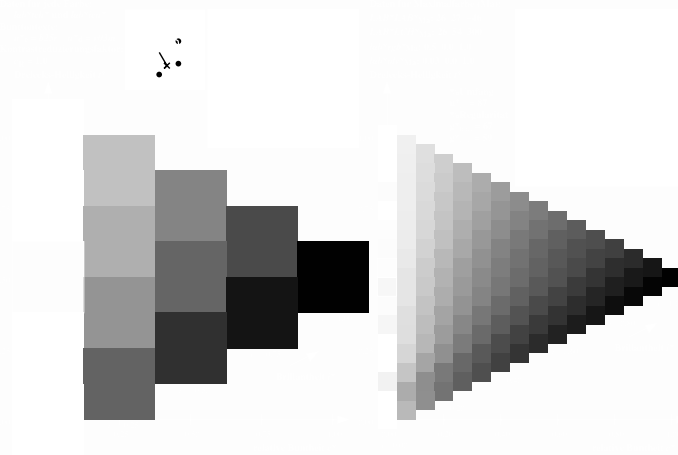
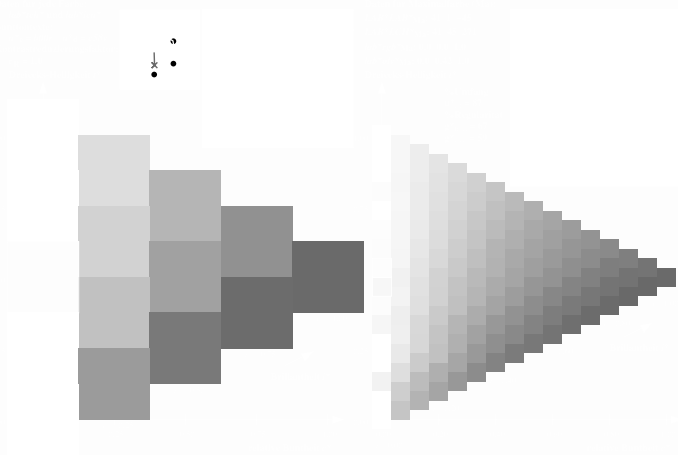
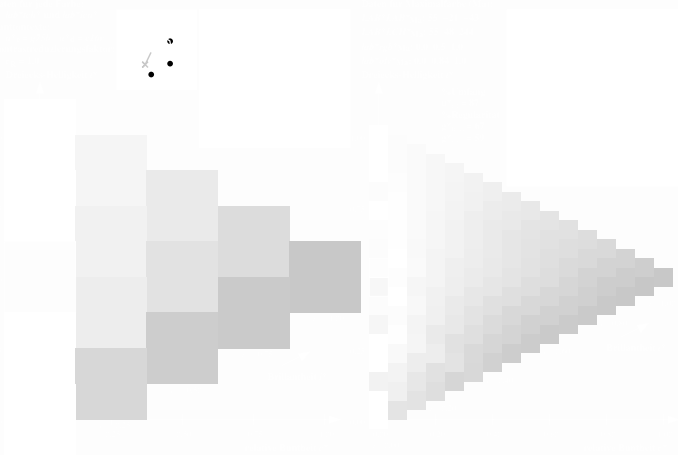
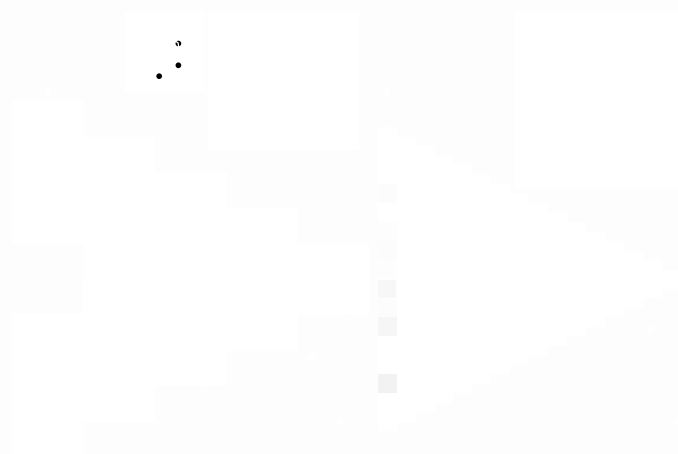
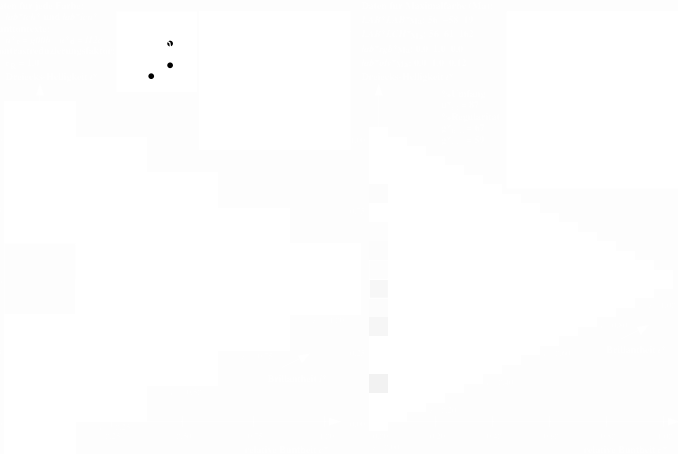


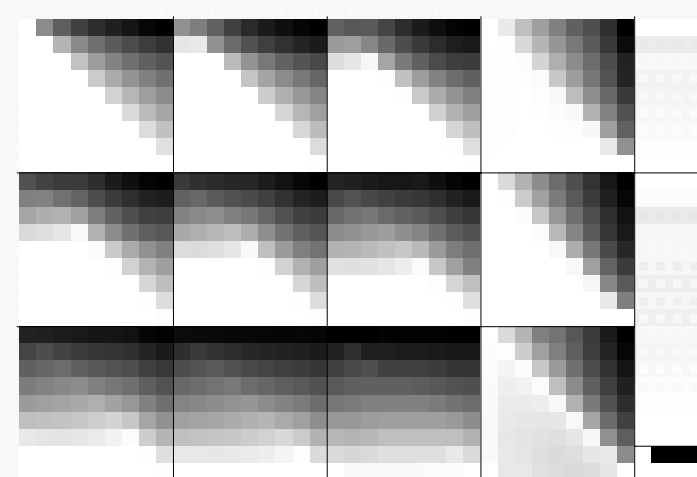
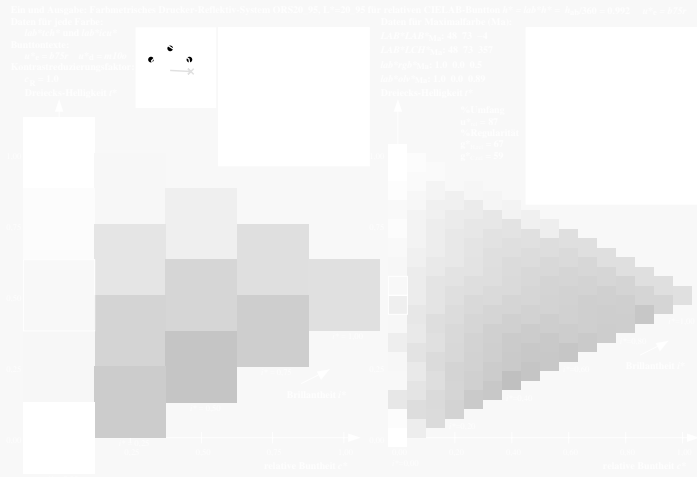
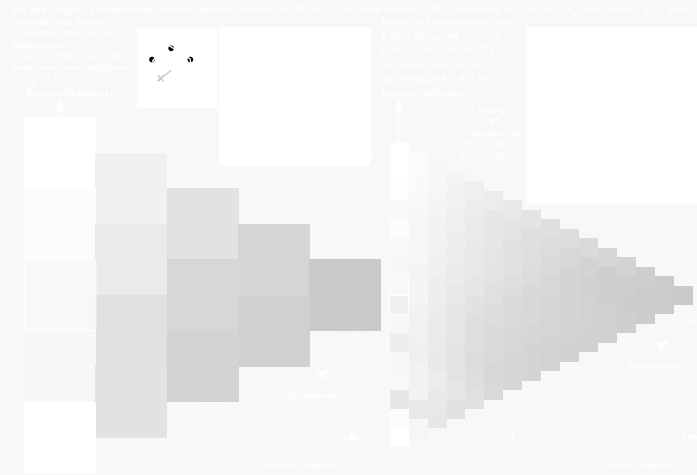
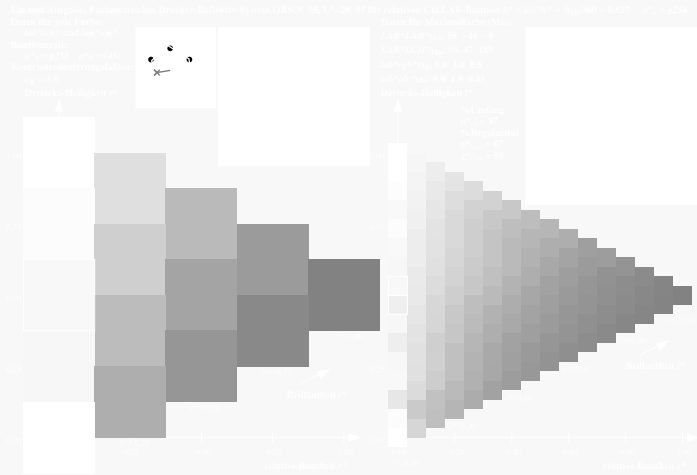
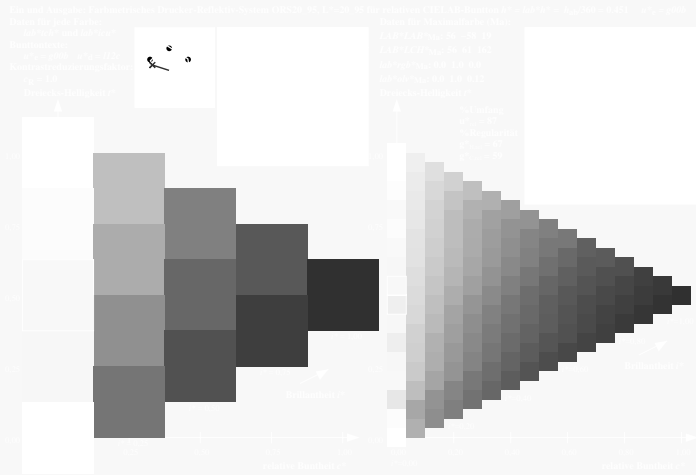
••



••







Ein und Ausgabe: Farbmetrisches Drucker-Reflexiv-System ORS20_95, L* = 20_95 für relativen CIELAB-Buntton $h^* = lab^*h^* = h_{ab}^*/360 = 0.451$ $u^*_e = g50b$

Daten für jede Farbe:
 lab^*/ich^* und lab^*/icu^*
 Bunttonstexte:
 $u^*_e = g50b$ $u^*_a = I12c$
 Kontrastreduzierungsfaktor:
 $c_R = 1.0$
 Dreiecks-Helligkeit I^*

ORS20_95a; adaptierte CIELAB-Daten	Daten für Maximalfarbe (Ma):
L^* , a^* , b^* , C_{ab} , h_{ab} , m_{ab}	LAB^*/LAB^*_{Max} : 56 61 162
Ma: 48.89 66.19 40.28 77.48 31	
Ya: 88.66 -9.62 88.21 88.73 96	
La: 54.22 -65.29 33.87 73.56 153	
Ca: 61.43 -30.53 -42.04 51.96 234	
Ma: 25.93 25.95 -47.37 54.01 299	
Naa: 47.92 73.53 -9.02 74.08 353	
Nba: 20.41 0.0 0.0 0.0 0	
Nca: 94.64 0.0 0.0 0.0 0	
Nda: 39.92 58.74 27.99 65.07 25	
Nea: 81.26 -2.89 71.56 71.62 92	
Nfa: 52.23 -42.42 13.6 44.55 162	
Nga: 30.57 1.41 -46.47 46.49 272	

Ein und Ausgabe: Farbmetrisches Drucker-Reflexiv-System ORS20_95, L* = 20_95 für relativen CIELAB-Buntton $h^* = lab^*h^* = h_{ab}^*/360 = 0.527$ $u^*_e = g25b$

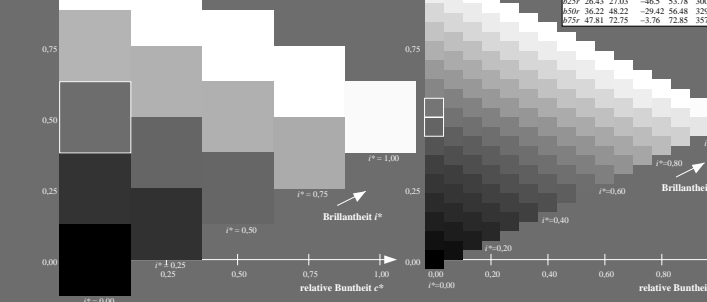
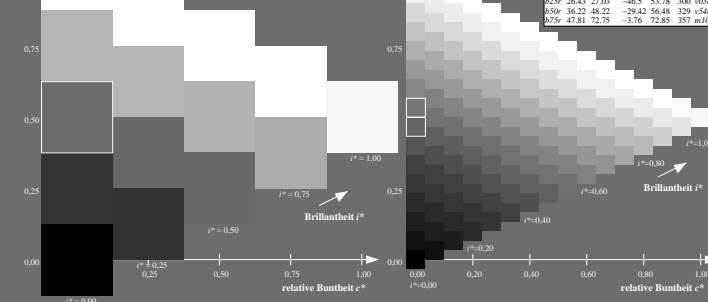
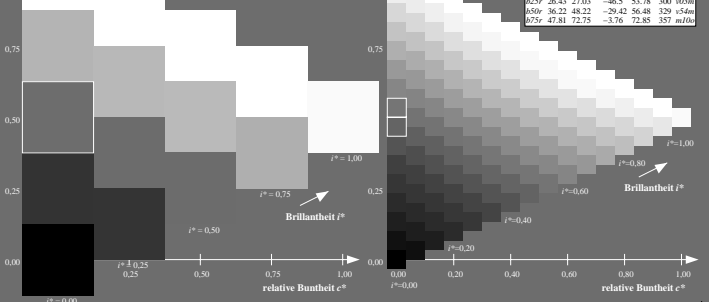
Daten für jede Farbe:
 lab^*/ich^* und lab^*/icu^*
 Bunttonstexte:
 $u^*_e = g25b$ $u^*_a = I45c$
 Kontrastreduzierungsfaktor:
 $c_R = 1.0$
 Dreiecks-Helligkeit I^*

ORS20_95a; adaptierte CIELAB-Daten	Daten für Maximalfarbe (Ma):
L^* , a^* , b^* , C_{ab} , h_{ab} , m_{ab}	LAB^*/LAB^*_{Max} : 58 47 189
Ma: 48.89 66.19 40.28 77.48 31	
Ya: 88.66 -9.62 88.21 88.73 96	
La: 54.22 -65.29 33.87 73.56 153	
Ca: 61.43 -30.53 -42.04 51.96 234	
Ma: 25.93 25.95 -47.37 54.01 299	
Naa: 47.92 73.53 -9.02 74.08 353	
Nba: 20.41 0.0 0.0 0.0 0	
Nca: 94.64 0.0 0.0 0.0 0	
Nda: 39.92 58.74 27.99 65.07 25	
Nea: 81.26 -2.89 71.56 71.62 92	
Nfa: 52.23 -42.42 13.6 44.55 162	
Nga: 30.57 1.41 -46.47 46.49 272	

Ein und Ausgabe: Farbmetrisches Drucker-Reflexiv-System ORS20_95, L* = 20_95 für relativen CIELAB-Buntton $h^* = lab^*h^* = h_{ab}^*/360 = 0.603$ $u^*_e = g50b$

Daten für jede Farbe:
 lab^*/ich^* und lab^*/icu^*
 Bunttonstexte:
 $u^*_e = g50b$ $u^*_a = I77c$
 Kontrastreduzierungsfaktor:
 $c_R = 1.0$
 Dreiecks-Helligkeit I^*

ORS20_95a; adaptierte CIELAB-Daten	Daten für Maximalfarbe (Ma):
L^* , a^* , b^* , C_{ab} , h_{ab} , m_{ab}	LAB^*/LAB^*_{Max} : 60 37 28
Ma: 48.89 66.19 40.28 77.48 31	
Ya: 88.66 -9.62 88.21 88.73 96	
La: 54.22 -65.29 33.87 73.56 153	
Ca: 61.43 -30.53 -42.04 51.96 234	
Ma: 25.93 25.95 -47.37 54.01 299	
Naa: 47.92 73.53 -9.02 74.08 353	
Nba: 20.41 0.0 0.0 0.0 0	
Nca: 94.64 0.0 0.0 0.0 0	
Nda: 39.92 58.74 27.99 65.07 25	
Nea: 81.26 -2.89 71.56 71.62 92	
Nfa: 52.23 -42.42 13.6 44.55 162	
Nga: 30.57 1.41 -46.47 46.49 272	



Ein und Ausgabe: Farbmetrisches Drucker-Reflexiv-System ORS20_95, L* = 20_95 für relativen CIELAB-Buntton $h^* = lab^*h^* = h_{ab}^*/360 = 0.679$ $u^*_e = g75b$

Daten für jede Farbe:
 lab^*/ich^* und lab^*/icu^*
 Bunttonstexte:
 $u^*_e = g75b$ $u^*_a = c10f$
 Kontrastreduzierungsfaktor:
 $c_R = 1.0$
 Dreiecks-Helligkeit I^*

ORS20_95a; adaptierte CIELAB-Daten	Daten für Maximalfarbe (Ma):
L^* , a^* , b^* , C_{ab} , h_{ab} , m_{ab}	LAB^*/LAB^*_{Max} : 55 21 43
Ma: 48.89 66.19 40.28 77.48 31	
Ya: 88.66 -9.62 88.21 88.73 96	
La: 54.22 -65.29 33.87 73.56 153	
Ca: 61.43 -30.53 -42.04 51.96 234	
Ma: 25.93 25.95 -47.37 54.01 299	
Naa: 47.92 73.53 -9.02 74.08 353	
Nba: 20.41 0.0 0.0 0.0 0	
Nca: 94.64 0.0 0.0 0.0 0	
Nda: 39.92 58.74 27.99 65.07 25	
Nea: 81.26 -2.89 71.56 71.62 92	
Nfa: 52.23 -42.42 13.6 44.55 162	
Nga: 30.57 1.41 -46.47 46.49 272	

Ein und Ausgabe: Farbmetrisches Drucker-Reflexiv-System ORS20_95, L* = 20_95 für relativen CIELAB-Buntton $h^* = lab^*h^* = h_{ab}^*/360 = 0.755$ $u^*_e = g00b$

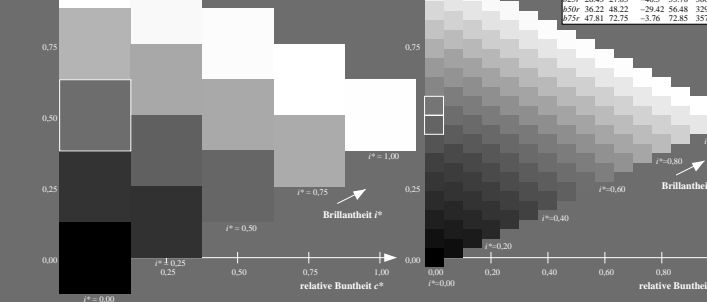
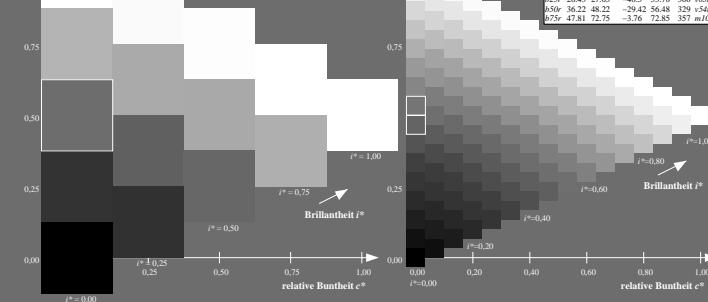
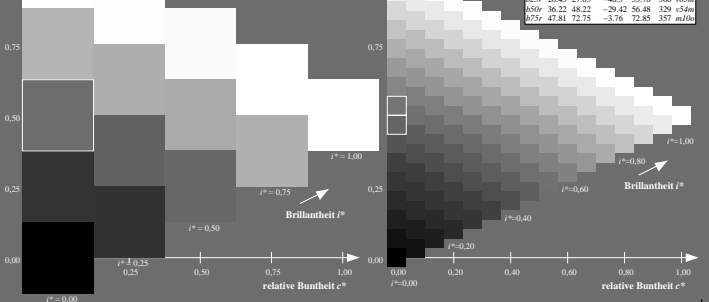
Daten für jede Farbe:
 lab^*/ich^* und lab^*/icu^*
 Bunttonstexte:
 $u^*_e = g00b$ $u^*_a = c50f$
 Kontrastreduzierungsfaktor:
 $c_R = 1.0$
 Dreiecks-Helligkeit I^*

ORS20_95a; adaptierte CIELAB-Daten	Daten für Maximalfarbe (Ma):
L^* , a^* , b^* , C_{ab} , h_{ab} , m_{ab}	LAB^*/LAB^*_{Max} : 41 1 45
Ma: 48.89 66.19 40.28 77.48 31	
Ya: 88.66 -9.62 88.21 88.73 96	
La: 54.22 -65.29 33.87 73.56 153	
Ca: 61.43 -30.53 -42.04 51.96 234	
Ma: 25.93 25.95 -47.37 54.01 299	
Naa: 47.92 73.53 -9.02 74.08 353	
Nba: 20.41 0.0 0.0 0.0 0	
Nca: 94.64 0.0 0.0 0.0 0	
Nda: 39.92 58.74 27.99 65.07 25	
Nea: 81.26 -2.89 71.56 71.62 92	
Nfa: 52.23 -42.42 13.6 44.55 162	
Nga: 30.57 1.41 -46.47 46.49 272	

Ein und Ausgabe: Farbmetrisches Drucker-Reflexiv-System ORS20_95, L* = 20_95 für relativen CIELAB-Buntton $h^* = lab^*h^* = h_{ab}^*/360 = 0.834$ $u^*_e = g25r$

Daten für jede Farbe:
 lab^*/ich^* und lab^*/icu^*
 Bunttonstexte:
 $u^*_e = g25r$ $u^*_a = c03m$
 Kontrastreduzierungsfaktor:
 $c_R = 1.0$
 Dreiecks-Helligkeit I^*

ORS20_95a; adaptierte CIELAB-Daten	Daten für Maximalfarbe (Ma):
L^* , a^* , b^* , C_{ab} , h_{ab} , m_{ab}	LAB^*/LAB^*_{Max} : 26 27 46
Ma: 48.89 66.19 40.28 77.48 31	
Ya: 88.66 -9.62 88.21 88.73 96	
La: 54.22 -65.29 33.87 73.56 153	
Ca: 61.43 -30.53 -42.04 51.96 234	
Ma: 25.93 25.95 -47.37 54.01 299	
Naa: 47.92 73.53 -9.02 74.08 353	
Nba: 20.41 0.0 0.0 0.0 0	
Nca: 94.64 0.0 0.0 0.0 0	
Nda: 39.92 58.74 27.99 65.07 25	
Nea: 81.26 -2.89 71.56 71.62 92	
Nfa: 52.23 -42.42 13.6 44.55 162	
Nga: 30.57 1.41 -46.47 46.49 272	



Ein und Ausgabe: Farbmetrisches Drucker-Reflexiv-System ORS20_95, L* = 20_95 für relativen CIELAB-Buntton $h^* = lab^*h^* = h_{ab}^*/360 = 0.913$ $u^*_e = g50r$

Daten für jede Farbe:
 lab^*/ich^* und lab^*/icu^*
 Bunttonstexte:
 $u^*_e = g50r$ $u^*_a = c54m$
 Kontrastreduzierungsfaktor:
 $c_R = 1.0$
 Dreiecks-Helligkeit I^*

ORS20_95a; adaptierte CIELAB-Daten	Daten für Maximalfarbe (Ma):
L^* , a^* , b^* , C_{ab} , h_{ab} , m_{ab}	LAB^*/LAB^*_{Max} : 36 48 29
Ma: 48.89 66.19 40.28 77.48 31	
Ya: 88.66 -9.62 88.21 88.73 96	
La: 54.22 -65.29 33.87 73.56 153	
Ca: 61.43 -30.53 -42.04 51.96 234	
Ma: 25.93 25.95 -47.37 54.01 299	
Naa: 47.92 73.53 -9.02 74.08 353	
Nba: 20.41 0.0 0.0 0.0 0	
Nca: 94.64 0.0 0.0 0.0 0	
Nda: 39.92 58.74 27.99 65.07 25	
Nea: 81.26 -2.89 71.56 71.62 92	
Nfa: 52.23 -42.42 13.6 44.55 162	
Nga: 30.57 1.41 -46.47 46.49 272	

Ein und Ausgabe: Farbmetrisches Drucker-Reflexiv-System ORS20_95, L* = 20_95 für relativen CIELAB-Buntton $h^* = lab^*h^* = h_{ab}^*/360 = 0.992$ $u^*_e = g25r$

Daten für jede Farbe:
 lab^*/ich^* und lab^*/icu^*
 Bunttonstexte:
 $u^*_e = g25r$ $u^*_a = c100r$
 Kontrastreduzierungsfaktor:
 $c_R = 1.0$
 Dreiecks-Helligkeit I^*

ORS20_95a; adaptierte CIELAB-Daten	Daten für Maximalfarbe (Ma):
L^* , a^* , b^* , C_{ab} , h_{ab} , m_{ab}	LAB^*/LAB^*_{Max} : 48 73 4
Ma: 48.89 66.19 40.28 77.48 31	
Ya: 88.66 -9.62 88.21 88.73 96	
La: 54.22 -65.29 33.87 73.56 153	
Ca: 61.43 -30.53 -42.04 51.96 234	
Ma: 25.93 25.95 -47.37 54.01 299	
Naa: 47.92 73.53 -9.02 74.08 353	
Nba: 20.41 0.0 0.0 0.0 0	
Nca: 94.64 0.0 0.0 0.0 0	
Nda: 39.92 58.74 27.99 65.07 25	
Nea: 81.26 -2.89 71.56 71.62 92	
Nfa: 52.23 -42.42 13.6 44.55 162	
Nga: 30.57 1.41 -46.47 46.49 272	

